

## Actuariat de l'Assurance Non-Vie # 3

A. Charpentier (Université de Rennes 1)

ENSAE 2017/2018



credit: Arnold Odermatt

## Modélisation économétrique d'une variable de comptage

**Références:** Frees (2010), chapitre 12 (p 343-361) Greene (2012), section 18.3 (p 802-828) de Jong & Heller (2008), chapitre 6, sur la régression de Poisson. Sur les méthodes de biais minimal, de Jong & Heller (2008), section 1.3, Cameron & Trivedi (1998), Denuit *et al.* (2007) et Hilbe (2007).

**Remarque:** la régression de Poisson est un cas particulier des modèles GLM, avec une loi de **Poisson** et une fonction de lien **logarithmique**.

Utilisation du 'modèle collectif'  $S_t = \sum_{i=1}^{N_t} Y_i$ , et  $\mathbb{E}[S_1 | \mathbf{X}] = \mathbb{E}[N_1 | \mathbf{X}] \cdot \mathbb{E}[Y | \mathbf{X}]$ .

## Base pour les données de comptage

On dispose de deux bases

- la base de souscription (avec des informations sur l'assuré et le véhicule)
- la base de sinistres avec les sinistres RC (assurance responsabilité civile, obligatoire) et DO (assurance dommage, non obligatoire)

```
1 > sinistre=read.table("http://freakonometrics.free.fr/sinistreACT2040
    .txt",header=TRUE,sep=";")
2 > contrat=read.table("http://freakonometrics.free.fr/contractACT2040.
    txt",header=TRUE,sep=";")
3 > contrat=contrat[,1:10]
4 > names(contrat)[10]="region"
```

La clé est le numéro de police, `nocontrat`.

## Base pour les données de comptage

```

1 > sinistre_RC=sinistre[(sinistre$garantie=="1RC")&(sinistre$cout>0),]
2 > T_RC=table(sinistre_RC$nocontrat)
3 > T1_RC=as.numeric(names(T_RC))
4 > T2_RC=as.numeric(T_RC)
5 > nombre_1_RC = data.frame(nocontrat=T1_RC,nb_RC=T2_RC)
6 > I_RC = contrat$nocontrat%in%T1_RC
7 > T1_RC= contrat$nocontrat[I_RC==FALSE]
8 > nombre_2_RC = data.frame(nocontrat=T1_RC,nb_RC=0)
9 > nombre_RC=rbind(nombre_1_RC,nombre_2_RC)

```

On compte ici le nombre d'accidents RC, par contrat.

**Remarque** dans le modèle collectif,  $Y_i > 0$  (on exclut les sinistres classés '*sans suite*')

## Base pour les données de comptage

```

1 > sinistre_D0=sinistre[(sinistre$garantie=="2D0")&(sinistre$cout>0),]
2 > T_D0=table(sinistre_D0$nocontrat)
3 > T1_D0=as.numeric(names(T_D0))
4 > T2_D0=as.numeric(T_D0)
5 > nombre_1_D0 = data.frame(nocontrat=T1_D0,nb_D0=T2_D0)
6 > I_D0 = contrat$nocontrat%in%T1_D0
7 > T1_D0= contrat$nocontrat[I_D0==FALSE]
8 > nombre_2_D0 = data.frame(nocontrat=T1_D0,nb_D0=0)
9 > nombre_D0=rbind(nombre_1_D0,nombre_2_D0)

```

On compte ici le nombre d'accidents DO, par contrat.

Et on crée la base finale

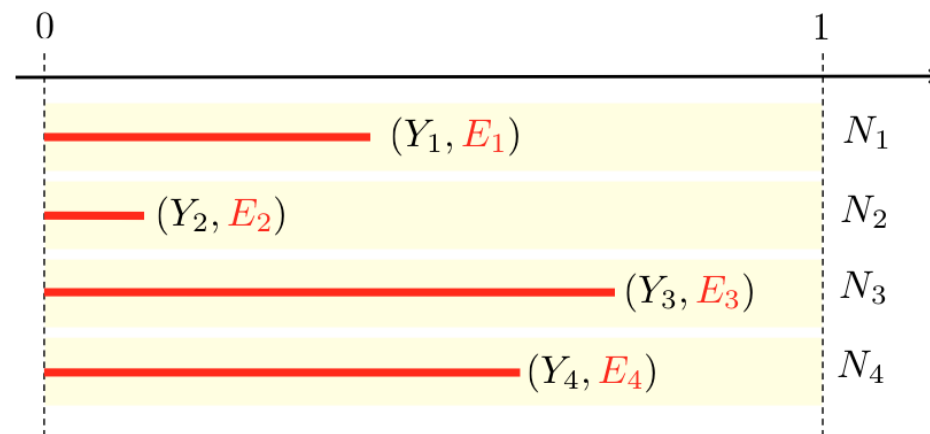
```

1 > freq = merge(contrat,nombre_RC)
2 > freq = merge(freq,nombre_D0)

```

## La notion d'exposition

Les contrats d'assurance sont annuels, mais dans la base, on peut avoir des données **censurées** (arrêt de la police ou image au 31 Décembre)



On observe  $Y$  et  $E$ , la variable d'intérêt est  $N$ .

## La notion d'exposition

Dans notre base, la fréquence pour les DO est de l'ordre de 6.5%,

```
1 > Y = freq$nb_D0
2 > E= freq$exposition
3 > sum(Y) / sum(E)
4 [1] 0.06564229
5 > weighted.mean(Y/E, E)
6 [1] 0.06564229
```

## Fréquence de sinistre et segmentation

```

1 > X1 = freq$carburant
2 > tapply(Y,X1,sum)/tapply(E,X1,sum)
3           D           E
4 0.07068945 0.06110016
5 > library(weights)
6 > wtd.t.test(x=(Y/E)[X1=="D"], y=(Y/E)[X1=="E"],
7 +           weight=E[X1=="D"], weighty=E[X1=="E"], samedata=FALSE)
8 $test
9 [1] "Two Sample Weighted T-Test (Welch)"
10
11 $coefficients
12           t.value           df           p.value
13 1.768349e+00 2.631555e+04 7.701412e-02
14
15 $additional
16 Difference      Mean.x      Mean.y      Std. Err
17 0.009589286 0.070689448 0.061100161 0.005422733

```

## Fréquence de sinistre et segmentation

On peut aussi envisager une **analyse de la variance**

```

1 > summary(lm(Y/E~X1,weights=E))
2 Coefficients:
3           Estimate Std. Error t value Pr(>|t|)
4 (Intercept)  0.070689   0.002866  24.662  <2e-16 ***
5 X1E          -0.009589   0.003951  -2.427   0.0152 *
6
7 Residual standard error: 0.3207 on 49998 degrees of freedom
8 Multiple R-squared:  0.0001178, Adjusted R-squared:  9.781e-05
9 F-statistic: 5.891 on 1 and 49998 DF,  p-value: 0.01522
10 > anova(lm(Y/E~X1,weights=E))
11 Analysis of Variance Table
12
13 Response: Y/E
14           Df Sum Sq Mean Sq F value  Pr(>F)
15 X1          1    0.6  0.60593    5.891 0.01522 *
16 Residuals 49998 5142.7  0.10286

```

## Modèle binomial

Le premier modèle auquel on pourrait penser pour modéliser le nombre de sinistres est le modèle binomial  $\mathcal{B}(n, p)$ . Avec  $n$  connu, correspondant à l'exposition.

Pour être plus précis, on suppose que  $Y_i \sim \mathcal{B}(E_i, p_i)$  où  $E_i$  est connu, et où  $p_i$  est fonction de variables explicatives (via un lien logistique).

On va exprimer l'exposition en semaine,  $p$  est alors la probabilité d'avoir un sinistre sur une semaine,

```
1 > freq_b=freq[freq$exposition<=1,]
2 > freq_b$sem=round(freq_b$exposition*52)
3 > freq_b=freq_b[freq_b$sem>=1,]
```

Pour faire une régression binomiale (et pas juste Bernoulli)

```
1 > reg1=glm(nb_D0/sem~1,family=binomial,weights=sem,data=freq_b)
```

ou encore

```
1 > reg2=glm(cbind(nb_D0, sem-nb_D0) ~ 1, data = freq_b, family =
  binomial)
```

La fréquence annuelle prédite est

```
1 > predict(reg1, type="response") [1] * 52
2          1
3 0.06574927
```

Si on utilise le carburant comme variable de segmentation

```
1 > reg2 <- glm(cbind(nb_D0, sem-nb_D0) ~ carburant, data = freq_b,
  family = binomial)
2 > predict(reg2, type="response", newdata=data.frame(carburant=c("D", "E"
  ))) * 52
3          1          2
4 0.07097405 0.06104802
```

**Remarque** avec une loi binomiale  $\mathbb{E}[N|\mathbf{X}] > \text{Var}[N|\mathbf{X}]$ , sous-dispersion.

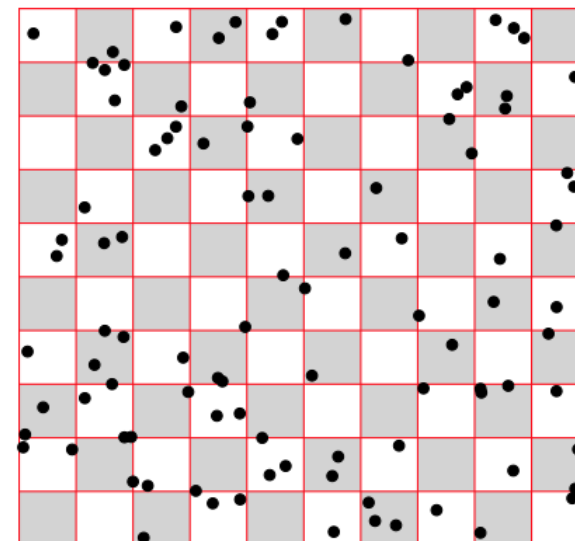
## La loi de petits nombres

La loi de Poisson apparaît comme approximation de la loi binomiale quand  
 $p \sim \lambda/n$

$$\binom{n}{k} p^k (1-p)^{n-k} \sim e^{-\lambda} \frac{\lambda^k}{k!}$$

```
1 > data.frame(N,F=table(nb_cell),P=c(dpois
      (0:4,1),1-ppois(4,1)))
```

	N	F	P
2			
3	1	0 36	36.78
4	2	1 39	36.78
5	3	2 16	18.39
6	4	3 7	6.13
7	5	4 2	1.53
8	6	5+ 0	0.37



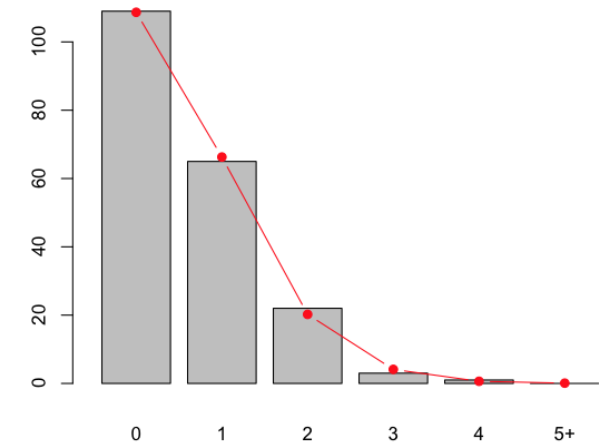
## La loi de petits nombres

Nombre de soldats de cavaliers morts par ruade de cheval, entre 1875 et 1894, dans 10 corps (soit 200 corps annuels) [Bortkiewicz \(1898\)](#)

```

1 > data.frame(N, F=table(ruades), P=c(dpois
      (0:4, mean(ruades)), 1-ppois(4, mean(ruades)
      )))
2
3   N   F   P
4 1  0 109 108.67
5 2  1  65  66.21
6 3  2  22  20.22
7 4  3   3   4.11
8 5  4   1   0.63
9 6 5+   0   0.08

```



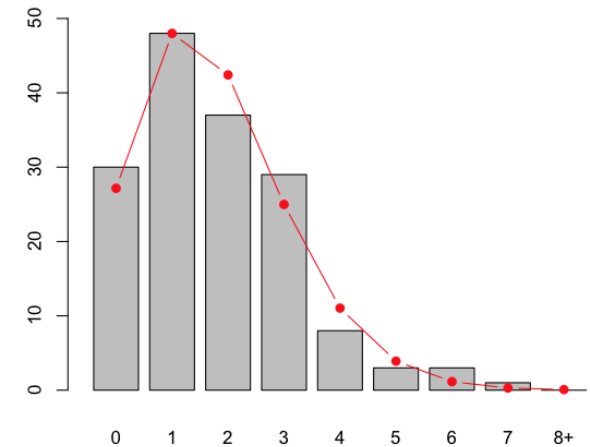
## La loi de petits nombres

Nombre d'ouragans, par an, Lévi & Partrat (1989)

```

1 > data.frame(N,F=table(hurricanes),P=c(dpois
      (0:4,mean(hurricanes)),1-ppois(4,mean(
      hurricanes))))
2
3   N  F   P
4 1  0 30 27.16
5 2  1 48 47.99
6 3  2 37 42.41
7 4  3 29 24.98
8 5  4  8 11.03
9 6  5  3  3.90
10 7  6  3  1.15
11 8  7  1  0.29
12 9 8+  0  0.08

```



## La loi de Poisson et période de retour

Supposon qu'un évènement survienne avec une probabilité annuelle  $p = 1/\tau$ . Soit  $T$  le temps à attendre avant la première survenance,

$$\mathbb{P}[T > n] = \left(1 - \frac{1}{\tau}\right)^n \sim e^{-t/\tau}$$

et  $\mathbb{E}[T] = \tau$  (notion de période de retour).

$t / \tau$	10	20	50	100	200
10	<b>34.86%</b>	59.87%	81.70%	90.43%	95.11%
20	12.15%	<b>35.84%</b>	66.76%	81.79%	90.46%
50	0.51%	7.69%	<b>36.41%</b>	60.50%	77.83%
100	0.00%	0.59%	13.26%	<b>36.60%</b>	60.57%
200	0.00%	0.00%	1.75%	13.39%	<b>36.69%</b>

## La loi de Poisson

La loi de **Poisson** est connue comme la **loi des petits nombres**,

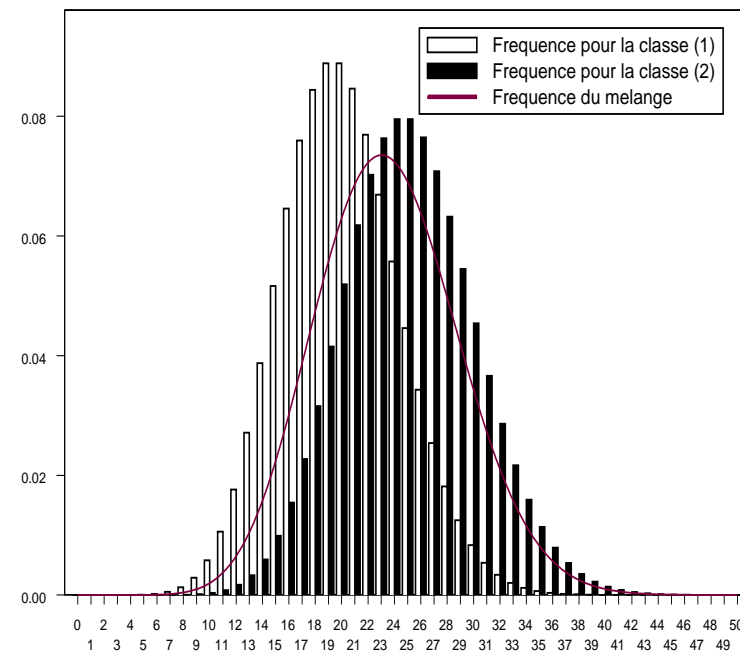
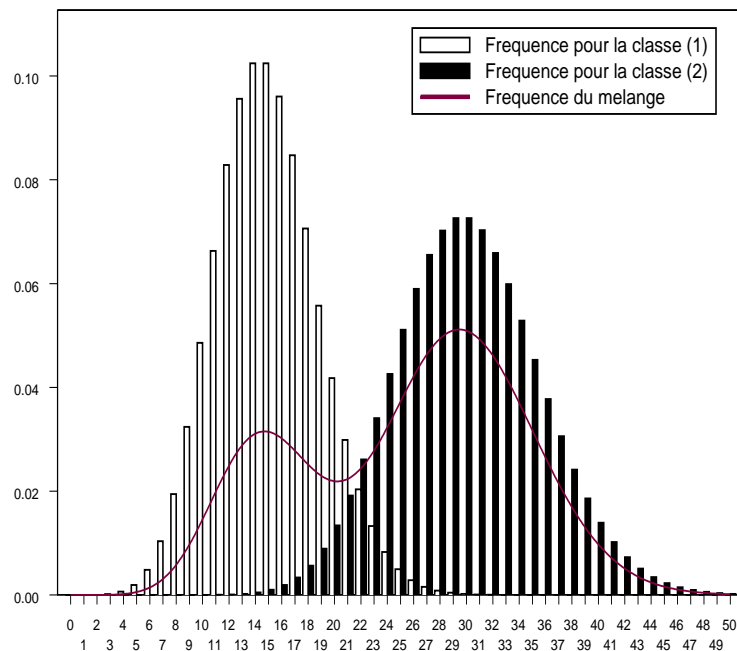
$$\mathbb{P}(N = k) = e^{-\lambda} \frac{\lambda^k}{k!}, \forall k \in \mathbb{N}.$$

Pour rappel (cf premier cours),  $\mathbb{E}(N) = \text{Var}(N) = \lambda \in \mathbb{R}_+$ , **équi-dispersion**.

## La loi Poisson mélange

En présence de **sur-dispersion**  $\mathbb{E}(N) < \text{Var}(N)$ , on peut penser à une loi **Poisson mélange**, i.e. il existe  $\Theta$ , variable aléatoire positive, avec  $\mathbb{E}(\Theta) = 1$ , telle que

$$\mathbb{P}(N = k | \Theta = \theta) = e^{-\lambda\theta} \frac{[\lambda\theta]^k}{k!}, \forall k \in \mathbb{N}.$$



## La loi Binomiale Négative

La loi **binomiale négative** apparaît dans le modèle Poisson mélange, lorsque  $\Theta \sim \mathcal{G}(\alpha, \alpha)$ . Dans ce cas,

$$\pi(\theta) = x^{\alpha-1} \frac{\alpha^\alpha \exp(-\alpha x)}{\Gamma(\alpha)}$$

$$\mathbb{E}(\Theta) = 1 \text{ et } \text{Var}(\Theta) = \frac{1}{\alpha}.$$

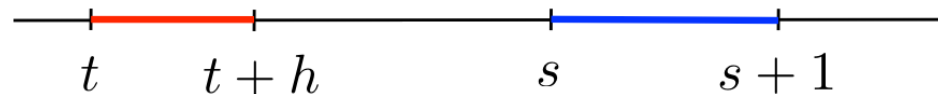
Dans ce cas, la loi (non conditionnelle) de  $N$  est

$$\mathbb{P}(N = k) = \int_0^\infty \mathbb{P}(N = k | \Theta = \theta) \pi(\theta) d\theta,$$

$$\mathbb{P}(N = k) = \frac{\Gamma(k + \alpha)}{\Gamma(k + 1)\Gamma(\alpha)} \left( \frac{1}{1 + \lambda/\alpha} \right)^\alpha \left( 1 - \frac{1}{1 + \lambda/\alpha} \right)^k, \forall k \in \mathbb{N}$$

## Le processus de Poisson

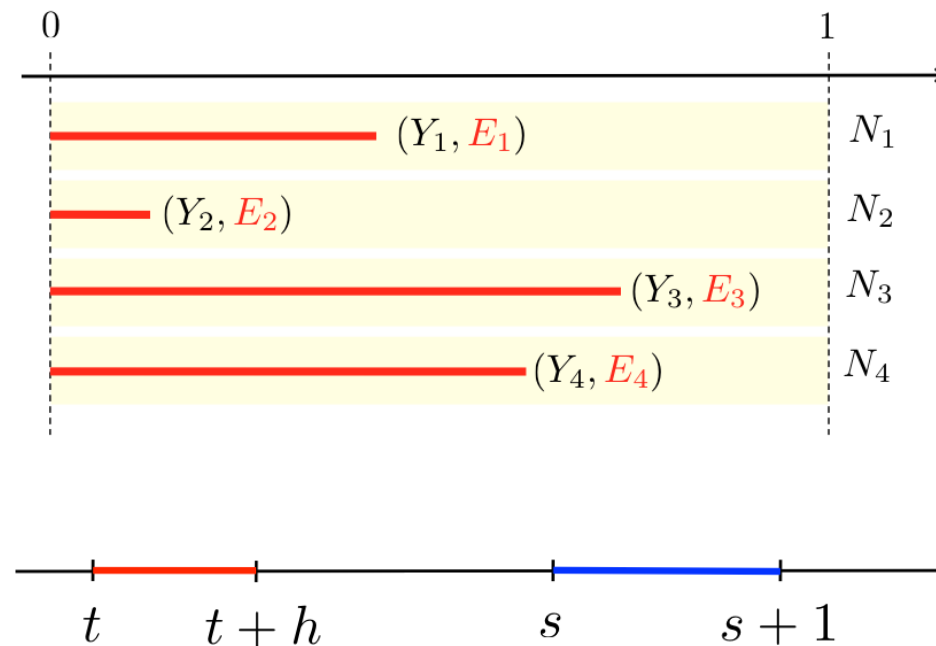
Pour rappel,  $(N_t)_{t \geq 0}$  est un **processus de Poisson homogène** (de paramètre  $\lambda$ ) s'il est à accroissements indépendants, et le nombre de sauts observés pendant la période  $[t, t + h]$  suit une loi  $\mathcal{P}(\lambda \cdot h)$ .



$N_{s+1} - N_s \sim \mathcal{P}(\lambda)$  est indépendant de  $N_{t+h} - N_t \sim \mathcal{P}(\lambda \cdot h)$ .

## Exposition et durée d'observation

Soit  $N_i$  la fréquence annulée de sinistre pour l'assuré  $i$ , et supposons  $N_i \sim \mathcal{P}(\lambda)$ . Si l'assuré  $i$  a été observé pendant une période  $E_i$ , le nombre de sinistre observé est  $Y_i \sim \mathcal{P}(\lambda \cdot E_i)$ .



## Maximum de Vraisemblance

$$\mathcal{L}(\lambda, \mathbf{Y}, \mathbf{E}) = \prod_{i=1}^n \frac{e^{-\lambda E_i} [\lambda E_i]^{Y_i}}{Y_i!}$$

$$\log \mathcal{L}(\lambda, \mathbf{Y}, \mathbf{E}) = -\lambda \sum_{i=1}^n E_i + \sum_{i=1}^n Y_i \log[\lambda E_i] - \log \left( \prod_{i=1}^n Y_i! \right)$$

qui donne la condition du premier ordre

$$\frac{\partial}{\partial \lambda} \log \mathcal{L}(\lambda, \mathbf{Y}, \mathbf{E}) = -\sum_{i=1}^n E_i + \frac{1}{\lambda} \sum_{i=1}^n Y_i$$

qui s'annule pour

$$\hat{\lambda} = \frac{\sum_{i=1}^n Y_i}{\sum_{i=1}^n E_i} = \sum_{i=1}^n \omega_i \frac{Y_i}{E_i} \text{ avec } \omega_i = \frac{E_i}{\sum_{i=1}^n E_i}$$

## Maximum de Vraisemblance

```
1 > N = freq$nb_D0
2 > E= freq$exposition
3 > (lambda = sum(N)/sum(E))
4 [1] 0.06564229
5 > dpois(0:3, lambda)*100
6 [1] 93.646 6.147 0.201 0.004
```

**Remarque:** pour  $E_i$  on parlera d'exposition ou d'années police.

## Fréquence annuelle et une variable tarifaire

```

1 > X1=freq$carburant
2 > tapply(N,X1,sum)
3   D   E
4 998 926
5 > tapply(E,X1,sum)
6           D           E
7 12519.55 13911.58
8 > (lambdas = tapply(N,X1,sum)/tapply(E,X1,sum))
9           D           E
10 0.07971533 0.06656323
11 > cbind(dpois(0:3,lambdas[1]),dpois(0:3,lambdas[2]))*100
12           [,1]           [,2]
13 [1,] 92.337916548 93.560375149
14 [2,]  7.360747674  6.227681197
15 [3,]  0.293382222  0.207267302
16 [4,]  0.007795687  0.004598794

```

## Fréquence annuelle et tableau de contingence

Supposons que l'on prenne en compte ici deux classes de risques.

```

1 > X1=freq$carburant
2 > X2=cut(freq$agevehicule ,c(0,3,10,101),right=FALSE)
3 > N_polices = table(X1,X2)
4 > E_agg=aggregate(E, by = list(X1 = X1, X2 = X2), sum)
5 > N_exposition=N_polices
6 > N_exposition[1:nrow(N_exposition),1:ncol(N_exposition)]=
7 +   matrix(E_agg$x,nrow(N_exposition),ncol(N_exposition))
8 > N_exposition
9   X2
10 X1   [0,3)   [3,10) [10,101)
11   D 3078.938 5653.109 3787.503
12   E 2735.014 5398.950 5777.619
13 >
14 > N_agg=aggregate(N, by = list(X1 = X1, X2 = X2), sum)
15 > N_sinistres=N_polices
16 > N_sinistres[1:nrow(N_sinistres),1:ncol(N_sinistres)]=

```

```
17 + matrix(N_agg$x, nrow(N_sinistres), ncol(N_sinistres))
18 > N_sinistres
19 X2
20 X1 [0,3) [3,10) [10,101)
21 D 393 424 68
22 E 343 419 88
23 > Freq_sinistres = N_sinistres/N_exposition
24 > Freq_sinistres
25 X2
26 X1 [0,3) [3,10) [10,101)
27 D 0.12764143 0.07500298 0.01795378
28 E 0.12541067 0.07760768 0.01523119
```

## Fréquence annuelle et tableau de contingence

Si on utilise la fonction en ligne sur [blog](#)

```

1 > freq_sin("nb_D0")$Freq
2   X2
3 X1   [0,3)   [3,10)   [10,101)
4   D 0.12764143 0.07500298 0.01795378
5   E 0.12541067 0.07760768 0.01523119
6 > freq_sin("nb_RC")$Freq
7   X2
8 X1   [0,3)   [3,10)   [10,101)
9   D 0.07859854 0.08473214 0.07313526
10  E 0.05959749 0.06816140 0.06836727

```

## Tableau de contingence et biais minimal

Notons  $Y_{i,j}$  le nombre de sinistres observés,  $E_{i,j}$  l'exposition et  $N_{i,j}$  la fréquence annualisée. La matrice  $\mathbf{Y} = [Y_{i,j}]$  est ici la fréquence observée. On suppose qu'il est possible de modéliser  $Y$  à l'aide d'un modèle multiplicatif à deux facteurs, associés à chaque des des variables. On suppose que

$$\hat{N}_{i,j} = L_i \cdot C_j, \text{ i.e. } \hat{\mathbf{N}} = \mathbf{L}\mathbf{C}^\top$$

cf [Bailey \(1963\)](#) et [Mildenhall \(1999\)](#)

L'estimation de  $\mathbf{L} = (L_i)$  et de  $\mathbf{C} = (C_j)$  se fait généralement de trois manières: par moindres carrés, par minimisation d'une distance (e.g. du chi-deux) ou par un principe de balancement (ou méthode des marges).

## Méthode des marges, Bailey (1963)

Dans la méthode des marges (selon la terminologie de Bailey (1963), formellement, on veut

$$\sum_j Y_{i,j} = \sum_j E_{i,j} N_{i,j} = \sum_j E_{i,j} L_i \cdot C_j,$$

en somment sur la ligne  $i$ , pour tout  $i$ , ou sur la colonne  $j$ ,

$$\sum_i Y_{i,j} = \sum_i E_{i,j} N_{i,j} = \sum_i E_{i,j} L_i \cdot C_j,$$

La première équation donne

$$L_i = \frac{\sum_j Y_{i,j}}{\sum_j E_{i,j} C_j}$$

et la seconde

$$C_j = \frac{\sum_i Y_{i,j}}{\sum_i E_{i,j} L_i}.$$

## Méthode des marges, Bailey (1963)

On résoud alors ce petit système de manière itérative (car il n'y a pas de solution analytique simple).

```

1 > D0=freq_sin("nb_D0")
2 > m=sum(D0$Sin)/sum(D0$Exp)
3 > L<-matrix(NA,10,nrow(D0$Exp))
4 > C<-matrix(NA,10,ncol(D0$Exp))
5 > L[1,]<-rep(1,2);colnames(L)=rownames(D0$Sin)
6 > C[1,]<-rep(m,3);colnames(C)=colnames(D0$Sin)
7 >
8 > for(j in 2:10){
9 +   L[j,1]<-sum(D0$Sin[1,])/sum(D0$Exp[1,]*C[j-1,])
10 +  L[j,2]<-sum(D0$Sin[2,])/sum(D0$Exp[2,]*C[j-1,])
11 +  C[j,1]<-sum(D0$Sin[,1])/sum(D0$Exp[,1]*L[j,])
12 +  C[j,2]<-sum(D0$Sin[,2])/sum(D0$Exp[,2]*L[j,])
13 +  C[j,3]<-sum(D0$Sin[,3])/sum(D0$Exp[,3]*L[j,])
14 +  }
15 > L[10,]

```

```
16           D           E
17 1.007697 1.002415
18 > C[10,]
19           [0,3)           [3,10)           [10,101)
20 0.12593567 0.07588711 0.01623609
21 > PREDICTION=(L[10,])%*%t(C[10,])
22 > PREDICTION
23           [0,3)           [3,10)           [10,101)
24 [1,] 0.1269050 0.07647120 0.01636106
25 [2,] 0.1262397 0.07607034 0.01627529
26 > sum(PREDICTION[1,]*D0$Exp[1,])
27 [1] 885
28 > sum(D0$Sin[1,])
29 [1] 885
```

## Méthode des moindres carrés

Parmi les méthodes proches de celles évoquées auparavant sur la méthode des marges, il est aussi possible d'utiliser une méthode par moindres carrés (pondérée). On va chercher à minimiser la somme des carrés des erreurs, i.e.

$$D = \sum_{i,j} E_{i,j} (N_{ij} - L_i \cdot C_j)^2$$

La condition du premier ordre donne ici  $\frac{\partial D}{\partial L_i} = -2 \sum_j C_j E_{i,j} (N_{i,j} - L_i \cdot C_j) = 0$

soit

$$L_i = \frac{\sum_j C_j E_{i,j} N_{i,j}}{\sum_j E_{i,j} C_j^2} = \frac{\sum_j C_j Y_{i,j}}{\sum_j E_{i,j} C_j^2}$$

L'autre condition du premier ordre donne

$$C_j = \frac{\sum_i L_i E_{i,j} N_{i,j}}{\sum_i E_{i,j} L_i^2} = \frac{\sum_i L_i Y_{i,j}}{\sum_i E_{i,j} L_i^2}$$

On résoud alors ce petit système de manière itérative (car il n'y a pas de solution analytique simple).

```

1 > D0=freq_sin("nb_D0")
2 > m=sum(D0$Sin)/sum(D0$Exp)
3 > L<-matrix(1,100,nrow(D0$Exp))
4 > C<-matrix(NA,100,ncol(D0$Exp))
5 > L[1,]<-rep(1,2);colnames(L)=rownames(D0$Sin)
6 > C[1,]<-rep(m,3);colnames(C)=colnames(D0$Sin)
7 >
8 > for(j in 2:100){
9 +   L[j,1]=sum(D0$Sin[1,]*C[j-1,])/sum(D0$Exp[1,]*C[j-1,]^2)
10 +  L[j,2]=sum(D0$Sin[2,]*C[j-1,])/sum(D0$Exp[2,]*C[j-1,]^2)
11 +  C[j,1]=sum(D0$Sin[,1]*L[j,])/sum(D0$Exp[,1]*L[j,]^2)
12 +  C[j,2]=sum(D0$Sin[,2]*L[j,])/sum(D0$Exp[,2]*L[j,]^2)
13 +  C[j,3]=sum(D0$Sin[,3]*L[j,])/sum(D0$Exp[,3]*L[j,]^2)
14 +  }
15 >
16 > L[100,]

```

```

17           D           E
18 1.011633 1.012599
19 > C[100,]
20           [0,3)      [3,10)      [10,101)
21 0.12507961 0.07536373 0.01611180
22 > PREDICTION=(L[10,])%*%t(C[10,])
23 > PREDICTION
24           [0,3)      [3,10)      [10,101)
25 [1,] 0.1265347 0.07624043 0.01629923
26 [2,] 0.1266554 0.07631321 0.01631479
27 > sum(PREDICTION[1,]*D0$Exp[1,])
28 [1] 882.3211
29 > sum(D0$Sin[1,])
30 [1] 885

```

## Méthode du $\chi^2$

Parmi les méthodes proches de celles évoquées dans la section ?? sur la méthode des marges, il est aussi possible d'utiliser une méthode basée sur la distance du chi-deux. On va chercher à minimiser

$$Q = \sum_{i,j} \frac{E_{i,j} (N_{i,j} - L_i \cdot C_j)^2}{L_i \cdot C_j}$$

Là encore on utilise les conditions du premier ordre, et on obtient

$$L_i = \left( \frac{\sum_j \left( \frac{E_{i,j} Y_{i,j}^2}{C_j} \right)}{\sum_j E_{i,j} C_j} \right)^{\frac{1}{2}}$$

et une expression du même genre pour  $C_j$ .

```
1 > D0=freq_sin("nb_D0")
2 > m=sum(D0$Sin)/sum(D0$Exp)
```

```
3 > L<-matrix(1,100,nrow(D0$Exp))
4 > C<-matrix(NA,100,ncol(D0$Exp))
5 > L[1,]<-rep(1,2);colnames(L)=rownames(D0$Sin)
6 > C[1,]<-rep(m,3);colnames(C)=colnames(D0$Sin)
7 >
8 > for(j in 2:100){
9 +   L[j,1]=sqrt(sum(D0$Exp[1,]*D0$Freq[1,]^2/C[j-1,])/sum(D0$Exp[1,]*C
10 +     [j-1,]))
11 +   L[j,2]=sqrt(sum(D0$Exp[2,]*D0$Freq[2,]^2/C[j-1,])/sum(D0$Exp[2,]*C
12 +     [j-1,]))
13 +   C[j,1]=sqrt(sum(D0$Exp[,1]*D0$Freq[,1]^2/L[j,])/sum(D0$Exp[,1]*L[j
14 +     ,]))
15 +   C[j,2]=sqrt(sum(D0$Exp[,2]*D0$Freq[,2]^2/L[j,])/sum(D0$Exp[,2]*L[j
16 +     ,]))
17 +   C[j,3]=sqrt(sum(D0$Exp[,3]*D0$Freq[,3]^2/L[j,])/sum(D0$Exp[,3]*L[j
18 +     ,]))
19 + }
20 >
```

```

16 > L[100,]
17           D           E
18 1.19012 1.18367
19 > C[100,]
20           [0,3)           [3,10)           [10,101)
21 0.10664299 0.06427321 0.01379165
22 > PREDICTION=(L[10,])%*%t(C[10,])
23 > PREDICTION
24           [0,3)           [3,10)           [10,101)
25 [1,] 0.1269180 0.07649285 0.01641373
26 [2,] 0.1262301 0.07607824 0.01632476
27 > sum(PREDICTION[1,]*D0$Exp[1,])
28 [1] 885.362
29 > sum(D0$Sin[1,])
30 [1] 885

```

(on est très proche ici de la méthode des marges, de Bailey).

## Approche(s) économétrique(s) du biais minimal

Ici, on considère  $\mathbf{y} = [N_{i,j}]$  et  $\hat{\mathbf{y}} = [L_i C_j] = [e^{\ell_i + c_j}]$ .

**Rappel** Dans un modèle linéaire - i.e.  $\mathbb{E}[Y] = \mathbf{X}\boldsymbol{\beta}$  - avec homoscedasticité, les équations normales sont

$$\mathbf{X}^\top [\mathbf{y} - \mathbf{X}\boldsymbol{\beta}] = \mathbf{0}$$

et dans un modèle avec hétéroscédasticité, si  $\text{Var}[\boldsymbol{\varepsilon}] = \sigma^2 \boldsymbol{\Omega}$ ,

$$\mathbf{X}^\top \boldsymbol{\Omega}^{-1} [\mathbf{y} - \mathbf{X}\boldsymbol{\beta}] = \mathbf{0}$$

Dans un modèle multiplicatif -  $\mathbb{E}[Y] = e^{\mathbf{X}\boldsymbol{\beta}}$  avec homoscedasticité, les équations normales sont

$$\mathbf{X}^\top e^{\mathbf{X}\boldsymbol{\beta}} [\mathbf{y} - e^{\mathbf{X}\boldsymbol{\beta}}] = \mathbf{0}$$

et dans un modèle avec hétéroscédasticité, si  $\text{Var}[\boldsymbol{\varepsilon}] = \sigma^2 \boldsymbol{\Omega}$ ,

$$\mathbf{X}^\top \boldsymbol{\Omega}^{-1} e^{\mathbf{X}\boldsymbol{\beta}} [\mathbf{y} - e^{\mathbf{X}\boldsymbol{\beta}}] = \mathbf{0}$$

## Approche(s) économétrique(s) du biais minimal

Résoudre  $\mathbf{X}^T [\mathbf{y} - e^{\mathbf{X}\beta}] = \mathbf{0}$  revient à considérer un modèle multiplicatif, hétéroscedastique, avec  $\Omega \propto e^{\mathbf{X}\beta}$ , i.e.  $\text{Var}(Y) \propto \mathbb{E}[Y]$  (cf loi de Poisson).

```

1 > df_agg=data.frame(N=as.numeric(D0$Sin),E=as.numeric(D0$Exp), X1=rep
      (levels(X1),ncol(D0$Sin)),X2=rep(levels(X2),each=nrow(D0$Sin)))
2 > regpoislog_agg <- glm(N~X1+X2,offset=log(E),data=df_agg, family=
      poisson(link="log"))
3 > ndf_agg=df_agg
4 > ndf_agg$E=1
5 > matrix(predict(regpoislog_agg,type="response",newdata=ndf_agg),nrow
      (PREDICTION),ncol(PREDICTION))
6           [,1]      [,2]      [,3]
7 [1,] 0.1269050 0.07647120 0.01636106
8 [2,] 0.1262397 0.07607034 0.01627529

```

## Approche(s) économétrique(s) du biais minimal

ou au niveau individuel

```

1 > df=data.frame(N=freq[, "nb_DO"], E, X1, X2)
2 > regpoislog <- glm(N~X1+X2, offset=log(E), data=df, family=poisson(
   link="log"))
3 > rownames(PREDICTION)=c("D", "E")
4 > newd <- data.frame(X1=factor(rep(rownames(PREDICTION), ncol(
   PREDICTION))), E=rep(1,6), X1=factor(rep(rownames(PREDICTION), ncol
   (PREDICTION))), X2=factor(rep(colnames(PREDICTION), each=nrow(
   PREDICTION))))
5 > matrix(predict(regpoislog, newdata=newd,
6 +         type="response"), nrow(PREDICTION), ncol(PREDICTION))
7           [,1]      [,2]      [,3]
8 [1,] 0.1269050 0.07647120 0.01636106
9 [2,] 0.1262397 0.07607034 0.01627529

```

## Approche(s) économétrique(s) du biais minimal

On peut aussi envisager un modèle homoscdastique

```

1 > df_agg=data.frame(N=as.numeric(D0$Sin),E=as.numeric(D0$Exp), X1=rep
      (levels(X1),ncol(D0$Sin)),X2=rep(levels(X2),each=nrow(D0$Sin)))
2 > reggauss_agg <- glm(N~X1+X2,offset=log(E),family=gaussian(link="log
      "),data=df_agg)
3 > ndf_agg=df_agg
4 > ndf_agg$E=1
5 > matrix(predict(reggauss_agg,type="response",newdata=ndf_agg),nrow(
      PREDICTION),ncol(PREDICTION))
6           [,1]      [,2]      [,3]
7 [1,] 0.1261529 0.07592604 0.01594451
8 [2,] 0.1272804 0.07660463 0.01608701

```

## La régression de Poisson

L'idée est la même que pour la régression logistique: on cherche un modèle linéaire pour la moyenne. En l'occurrence,

$$Y_i \sim \mathcal{P}(\lambda_i) \text{ avec } \lambda_i = \exp[\mathbf{X}_i^\top \boldsymbol{\beta}].$$

Dans ce modèle,  $\mathbb{E}(Y_i | \mathbf{X}_i) = \text{Var}(Y_i | \mathbf{X}_i) = \lambda_i = \exp[\mathbf{X}_i^\top \boldsymbol{\beta}]$ .

**Remarque:** on posera parfois  $\theta_i = \eta_i = \mathbf{X}_i^\top \boldsymbol{\beta}$

La log-vraisemblance est ici

$$\log \mathcal{L}(\boldsymbol{\beta}; \mathbf{Y}) = \sum_{i=1}^n [Y_i \log(\lambda_i) - \lambda_i - \log(Y_i!)]$$

ou encore

$$\log \mathcal{L}(\boldsymbol{\beta}; \mathbf{Y}) = \sum_{i=1}^n Y_i \cdot [\mathbf{X}_i^\top \boldsymbol{\beta}] - \exp[\mathbf{X}_i^\top \boldsymbol{\beta}] - \log(Y_i!)$$

Le gradient est ici

$$\nabla \log \mathcal{L}(\boldsymbol{\beta}; \mathbf{Y}) = \frac{\partial \log \mathcal{L}(\boldsymbol{\beta}; \mathbf{Y})}{\partial \boldsymbol{\beta}} = \sum_{i=1}^n (Y_i - \exp[\mathbf{X}_i^\top \boldsymbol{\beta}]) \mathbf{X}_i^\top$$

alors que la matrice Hessienne s'écrit

$$H(\boldsymbol{\beta}) = \frac{\partial^2 \log \mathcal{L}(\boldsymbol{\beta}; \mathbf{Y})}{\partial \boldsymbol{\beta} \partial \boldsymbol{\beta}^\top} = - \sum_{i=1}^n (Y_i - \exp[\mathbf{X}_i^\top \boldsymbol{\beta}]) \mathbf{X}_i \mathbf{X}_i^\top$$

La recherche du maximum de  $\log \mathcal{L}(\boldsymbol{\beta}; \mathbf{Y})$  est obtenu (numériquement) par l'algorithme de Newton-Raphson,

1. partir d'une valeur initiale  $\boldsymbol{\beta}_0$
2. poser  $\boldsymbol{\beta}_k = \boldsymbol{\beta}_{k-1} - H(\boldsymbol{\beta}_{k-1})^{-1} \nabla \log \mathcal{L}(\boldsymbol{\beta}_{k-1})$

où  $\nabla \log \mathcal{L}(\boldsymbol{\beta})$  est le gradient, et  $H(\boldsymbol{\beta})$  la matrice Hessienne (on parle parfois de Score de Fisher).

## La régression de Poisson

Par exemple, si on régresse sur l'âge du véhicule

```
1 > Y <- freq$nb_D0
2 > X1 <- freq$agevehicule
3 > X <- cbind(rep(1, length(X1)), X1)
```

on part d'une valeur initiale (e.g. une estimation classique de modèle linéaire)

```
1 > beta=lm(Y~0+X)$coefficients
```

On fait ensuite une boucle (avec 50,000 lignes, l'algorithme du cours #2. ne fonctionne pas)

```
1 > for(s in 1:20){
2 + gradient=t(X)%*(Y-exp(X*beta))
3 + hessienne=matrix(0, ncol(X), ncol(X))
4 + for(i in 1:nrow(X)){
5 + hessienne=hessienne + as.numeric(exp(X[i,]*beta))* (X[i,]*t(X[i,]))}
```

```
6 + beta=beta+solve(hessienne)%*%gradient
7 + }
```

On peut montrer que  $\hat{\beta} \xrightarrow{\mathbb{P}} \beta$  et

$$\sqrt{n}(\hat{\beta} - \beta) \xrightarrow{\mathcal{L}} \mathcal{N}(\mathbf{0}, I(\beta)^{-1}).$$

Numériquement, la encore, on peut approcher  $I(\beta)^{-1}$  qui est la variance (asymptotique) de notre estimateur. Or  $I(\beta) = H(\beta)$ , donc les écart-types de  $\hat{\beta}$  donnés à droite

```
1 > cbind(beta, sqrt(diag(solve(hessienne))))
2           [,1]      [,2]
3    -2.6949729  0.03382691
4 X1 -0.1219873  0.00575687
```

On retrouve toutes ces valeurs en utilisant

```

1 > regPoisson=glm(nb_D0~X1,data=freq,family=poisson)
2 > summary(regPoisson)
3
4 Coefficients:
5           Estimate Std. Error z value Pr(>|z|)
6 (Intercept) -2.694973   0.033827  -79.67  <2e-16 ***
7 X1          -0.121987   0.005757  -21.19  <2e-16 ***
8
9 (Dispersion parameter for poisson family taken to be 1)
10
11 Null deviance: 11893 on 49999 degrees of freedom
12 Residual deviance: 11334 on 49998 degrees of freedom
13 AIC: 14694
14
15 Number of Fisher Scoring iterations: 6

```

## Loi de Poisson vs. Conditions du Premier Ordre

D'un point de vue computationnel, l'ordinateur cherche à résoudre

$$\mathbf{X}^T[\mathbf{y} - \exp(\mathbf{X}\boldsymbol{\beta})] = \mathbf{0}, \text{ i.e. } \sum_{i=1}^n \mathbf{X}_i^T[\mathbf{y} - \exp(\mathbf{X}_i^T\boldsymbol{\beta})] = \mathbf{0}$$

À aucun moment, on a besoin d'avoir  $y_i \in \mathbb{N}$ . En fait, on peut faire une 'régression de Poisson' pour des variables non-entières.

```

1 > reg=glm(nb_RC~1,data=freq,family=poisson)
2 > predict(reg,type="response")[1]
3     1
4 0.03848
5 > reg=glm(nb_RC/10~1,data=freq,family=poisson)
6 There were 50 or more warnings (use warnings() to see the first 50)
7 > predict(reg,type="response")[1]
8     1
9 0.003848

```

## Propriété de la Régression de Poisson

Les conditions du premier ordre  $\mathbf{X}^\top [\mathbf{y} - \exp(\mathbf{X}\boldsymbol{\beta})] = \mathbf{0}$  peuvent s'écrire  $\mathbf{X}^\top \mathbf{y} = \mathbf{X}^\top \exp(\mathbf{X}\boldsymbol{\beta})$  ou encore  $\mathbf{X}^\top \hat{\mathbf{y}}$ .

S'il y a une constante, la première colonne implique

$$\mathbf{1}^\top \mathbf{y} = \mathbf{1}^\top \hat{\mathbf{y}} \text{ i.e. } \sum_{i=1}^n y_i = \sum_{i=1}^n \hat{y}_i$$

Si  $\mathbf{X}$  est une variable factorielle de modalités  $a_1, \dots, a_J$ ,

$$\mathbf{1}_{a_j}^\top \mathbf{y} = \mathbf{1}_{a_j}^\top \hat{\mathbf{y}} \text{ i.e. } \sum_{i; x_i = a_j} y_i = \sum_{i; x_i = a_j} \hat{y}_i$$

## Prise en compte de l'exposition (offset)

Oups, on a oublié de prendre l'exposition dans notre modèle. On a ajusté un modèle de la forme

$$Y_i \sim \mathcal{P}(\lambda_i) \text{ avec } \lambda_i = \exp[\beta_0 + \beta_1 X_{1,i}]$$

mais on voudrait

$$Y_i \sim \mathcal{P}(\lambda_i \cdot E_i) \text{ avec } \lambda_i = \exp[\beta_0 + \beta_1 X_{1,i}]$$

ou encore

$$Y_i \sim \mathcal{P}(\tilde{\lambda}_i) \text{ avec } \tilde{\lambda}_i = E_i \cdot \exp[\beta_0 + \beta_1 X_{1,i}] = \exp[\beta_0 + \beta_1 X_{1,i} + \log(E_i)]$$

Aussi, l'exposition intervient comme une variable de la régression, mais en prenant le logarithme de l'exposition, et en forçant le paramètre à être unitaire, i.e.

$$Y_i \sim \mathcal{P}(\tilde{\lambda}_i) \text{ avec } \tilde{\lambda}_i = E_i \cdot \exp[\beta_0 + \beta_1 X_{1,i}] = \exp[\beta_0 + \beta_1 X_{1,i} + \mathbf{1} \log(E_i)]$$

```

1 > Y <- freq$nb_D0
2 > X1 <- freq$agevehicule
3 > E <- freq$exposition
4 > X=cbind(rep(1,length(X1)),X1)
5 > beta=lm(Y~0+X)$coefficients
6 > for(s in 1:20){
7 +   gradient=t(X)%*(Y-exp(X*beta+log(E)))
8 +   hessienne=matrix(0,ncol(X),ncol(X))
9 +   for(i in 1:nrow(X)){
10 +     hessienne=hessienne + as.numeric(exp(X[i,]*beta+log(E[i])))*(
11 +       X[i,]*t(X[i,]))}
12 + }
13 >
14 > cbind(beta,sqrt(diag(solve(hessienne))))
15           [,1]      [,2]
16 -1.8256863  0.035138680
17 X1 -0.1578027  0.006198479

```

```
1 > regPoisson=glm(nb_DO~ageconducteur+offset(log(exposition)),data=
  freq,family=poisson)
2 > summary(regPoisson)
3
4 Coefficients:
5           Estimate Std. Error z value Pr(>|z|)
6 (Intercept)  -1.825686   0.035139  -51.96  <2e-16 ***
7 ageconducteur -0.157803   0.006198  -25.46  <2e-16 ***
8
9 (Dispersion parameter for poisson family taken to be 1)
10
11 Null deviance: 11671 on 49999 degrees of freedom
12 Residual deviance: 10822 on 49998 degrees of freedom
13 AIC: 14183
14
15 Number of Fisher Scoring iterations: 7
```

## Régression de Poisson multiple

On peut (bien entendu) régresser sur plusieurs variables explicatives

```

1 > model_RC=glm(nb_RC~zone+as.factor(puissance)+agevehicule+
  ageconducteur+carburant+offset(log(exposition)),data=freq,family=
  poisson)
2 > summary(model_RC)
3 Coefficients:
4
5             Estimate Std. Error z value Pr(>|z|)
6 (Intercept)   -2.546970    0.122723  -20.754  < 2e-16 ***
7 zoneB          0.011487    0.097559   0.118    0.9063
8 zoneC          0.196208    0.077090   2.545    0.0109 *
9 zoneD          0.403382    0.078788   5.120   3.06e-07 ***
10 zoneE         0.594872    0.079207   7.510   5.90e-14 ***
11 zoneF         0.684673    0.143612   4.768   1.87e-06 ***
12 as.factor(puissance)5  0.135072    0.081393   1.659    0.0970 .
13 as.factor(puissance)6  0.161305    0.079692   2.024    0.0430 *
14 as.factor(puissance)7  0.164168    0.079039   2.077    0.0378 *
  
```

```

15 as.factor(puissance)9    0.181978    0.123996    1.468    0.1422
16 as.factor(puissance)10  0.254358    0.119777    2.124    0.0337 *
17 as.factor(puissance)11  0.001156    0.170163    0.007    0.9946
18 as.factor(puissance)12  0.243677    0.223207    1.092    0.2750
19 as.factor(puissance)13  0.513950    0.284159    1.809    0.0705 .
20 as.factor(puissance)14  0.582564    0.295482    1.972    0.0487 *
21 as.factor(puissance)15  0.173748    0.383322    0.453    0.6504
22 agevehicule             0.001467    0.004191    0.350    0.7264
23 ageconducteur          -0.008844    0.001658   -5.335   9.58e-08 ***
24 carburantE              -0.201780    0.049265   -4.096   4.21e-05 ***
25
26 (Dispersion parameter for poisson family taken to be 1)
27
28 Null deviance: 12680 on 49999 degrees of freedom
29 Residual deviance: 12524 on 49980 degrees of freedom
30 AIC: 16235
31
32 Number of Fisher Scoring iterations: 6

```

## Effets marginaux, et élasticité

Les **effets marginaux** de la variable  $k$  pour l'individu  $i$  sont donnés par

$$\frac{\partial \mathbb{E}(Y_i | \mathbf{X}_i)}{\partial X_{i,k}} = \frac{\partial \exp[\mathbf{X}_i^\top \boldsymbol{\beta}]}{\partial X_k} = \exp[\mathbf{X}_i^\top \boldsymbol{\beta}] \cdot \beta_k$$

estimés par  $\exp[\mathbf{X}_i^\top \hat{\boldsymbol{\beta}}] \cdot \hat{\beta}_k$

Par exemple, pour avoir l'effet marginal de la variable **ageconducteur**,

```

1 > coef(model_RC)[19]
2 ageconducteur
3 -0.008844096
4 > effet19=predict(model_DO, type="response")*coef(model_RC)[19]
5 > effet19[1:4]
6           1           2           3           4
7 -1.188996e-03 -1.062340e-03 -7.076257e-05 -2.367111e-04

```

## Effets marginaux, et élasticité

On peut aussi calculer les **effets marginaux moyens** de la variable  $k$ ,  $\bar{Y} \cdot \hat{\beta}_k$

```
1 > mean(predict(model_RC, type="response")) * coef(model_RC)[19]
2 ageconducteur
3 -0.0003403208
```

Autrement dit, en vieillissant d'un an, il y aura (en moyenne) 0.0003 accident de moins, par an, par assuré.

Ici, on utilise des changements en unité ( $\partial X_{i,k}$ ), mais il est possible d'étudier l'impact de changement en proportion. Au lieu de varier d'une utilité, on va considérer un changement de 1%.

## Interprétation, suite

Dans la sortie, nous avons obtenu

```

1 Coefficients:
2
3
4
5
6
7
8
9
10
11
12
13
14
15
16
17
18
19
20
21
22
23
24
25
26
27
28
29
30
31
32
33
34
35
36
37
38
39
40
41
42
43
44
45
46
47
48
49
50
51
52
53
54
55
56
57
58
59
60
61
62
63
64
65
66
67
68
69
70
71
72
73
74
75
76
77
78
79
80
81
82
83
84
85
86
87
88
89
90
91
92
93
94
95
96
97
98
99
100
101
102
103
104
105
106
107
108
109
110
111
112
113
114
115
116
117
118
119
120
121
122
123
124
125
126
127
128
129
130
131
132
133
134
135
136
137
138
139
140
141
142
143
144
145
146
147
148
149
150
151
152
153
154
155
156
157
158
159
160
161
162
163
164
165
166
167
168
169
170
171
172
173
174
175
176
177
178
179
180
181
182
183
184
185
186
187
188
189
190
191
192
193
194
195
196
197
198
199
200
201
202
203
204
205
206
207
208
209
210
211
212
213
214
215
216
217
218
219
220
221
222
223
224
225
226
227
228
229
230
231
232
233
234
235
236
237
238
239
240
241
242
243
244
245
246
247
248
249
250
251
252
253
254
255
256
257
258
259
260
261
262
263
264
265
266
267
268
269
270
271
272
273
274
275
276
277
278
279
280
281
282
283
284
285
286
287
288
289
290
291
292
293
294
295
296
297
298
299
300
301
302
303
304
305
306
307
308
309
310
311
312
313
314
315
316
317
318
319
320
321
322
323
324
325
326
327
328
329
330
331
332
333
334
335
336
337
338
339
340
341
342
343
344
345
346
347
348
349
350
351
352
353
354
355
356
357
358
359
360
361
362
363
364
365
366
367
368
369
370
371
372
373
374
375
376
377
378
379
380
381
382
383
384
385
386
387
388
389
390
391
392
393
394
395
396
397
398
399
400
401
402
403
404
405
406
407
408
409
410
411
412
413
414
415
416
417
418
419
420
421
422
423
424
425
426
427
428
429
430
431
432
433
434
435
436
437
438
439
440
441
442
443
444
445
446
447
448
449
450
451
452
453
454
455
456
457
458
459
460
461
462
463
464
465
466
467
468
469
470
471
472
473
474
475
476
477
478
479
480
481
482
483
484
485
486
487
488
489
490
491
492
493
494
495
496
497
498
499
500
501
502
503
504
505
506
507
508
509
510
511
512
513
514
515
516
517
518
519
520
521
522
523
524
525
526
527
528
529
530
531
532
533
534
535
536
537
538
539
540
541
542
543
544
545
546
547
548
549
550
551
552
553
554
555
556
557
558
559
560
561
562
563
564
565
566
567
568
569
570
571
572
573
574
575
576
577
578
579
580
581
582
583
584
585
586
587
588
589
590
591
592
593
594
595
596
597
598
599
600
601
602
603
604
605
606
607
608
609
610
611
612
613
614
615
616
617
618
619
620
621
622
623
624
625
626
627
628
629
630
631
632
633
634
635
636
637
638
639
640
641
642
643
644
645
646
647
648
649
650
651
652
653
654
655
656
657
658
659
660
661
662
663
664
665
666
667
668
669
670
671
672
673
674
675
676
677
678
679
680
681
682
683
684
685
686
687
688
689
690
691
692
693
694
695
696
697
698
699
700
701
702
703
704
705
706
707
708
709
710
711
712
713
714
715
716
717
718
719
720
721
722
723
724
725
726
727
728
729
730
731
732
733
734
735
736
737
738
739
740
741
742
743
744
745
746
747
748
749
750
751
752
753
754
755
756
757
758
759
760
761
762
763
764
765
766
767
768
769
770
771
772
773
774
775
776
777
778
779
780
781
782
783
784
785
786
787
788
789
790
791
792
793
794
795
796
797
798
799
800
801
802
803
804
805
806
807
808
809
810
811
812
813
814
815
816
817
818
819
820
821
822
823
824
825
826
827
828
829
830
831
832
833
834
835
836
837
838
839
840
841
842
843
844
845
846
847
848
849
850
851
852
853
854
855
856
857
858
859
860
861
862
863
864
865
866
867
868
869
870
871
872
873
874
875
876
877
878
879
880
881
882
883
884
885
886
887
888
889
890
891
892
893
894
895
896
897
898
899
900
901
902
903
904
905
906
907
908
909
910
911
912
913
914
915
916
917
918
919
920
921
922
923
924
925
926
927
928
929
930
931
932
933
934
935
936
937
938
939
940
941
942
943
944
945
946
947
948
949
950
951
952
953
954
955
956
957
958
959
960
961
962
963
964
965
966
967
968
969
970
971
972
973
974
975
976
977
978
979
980
981
982
983
984
985
986
987
988
989
990
991
992
993
994
995
996
997
998
999
1000

```

i.e.

```

23 > coefficients(model_RC)["carburantE"]
24 carburantE
25 -0.2017798

```

Autrement dit, à caractéristiques identiques, un assuré conduisant un véhicule essence a une fréquence de sinistres presque 20% plus faible qu'un assuré conduisant un véhicule diesel,

```

1 > exp(coefficients(model_RC)["carburantE"])

```

```
2 carburantE
```

```
3 0.8172749
```

Dans la base, les zones prennent les valeurs A B C D E ou F, selon la densité en nombre d'habitants par km<sup>2</sup> de la commune de résidence (A = "1-50", B="50-100", C="100-500", D="500-2,000", E="2,000-10,000", F="10,000+").

Si on regarde maintenant la zone, la zone A est la zone de référence. On notera que la zone B n'est pas significativement différente de la zone A.

1	zoneB	0.011487	0.097559	0.118	0.9063	
2	zoneC	0.196208	0.077090	2.545	0.0109	*
3	zoneD	0.403382	0.078788	5.120	3.06e-07	***
4	zoneE	0.594872	0.079207	7.510	5.90e-14	***
5	zoneF	0.684673	0.143612	4.768	1.87e-06	***

Notons que l'on pourrait choisir une autre zone de référence

```
1 > freq$zone=relevel(freq$zone, "C")
```

```
2 > model_RC=glm(nb_RC~zone+as.factor(puissance)+agevehicule+
```

```

3 +           ageconducteur+carburant+offset(log(exposition)),
      data=freq, family=poisson)
4 > summary(model_RC)

...

1 zoneA          -0.196208    0.077090   -2.545  0.010921  *
2 zoneB          -0.184722    0.086739   -2.130  0.033202  *
3 zoneD           0.207174    0.064415    3.216  0.001299  **
4 zoneE           0.398664    0.064569    6.174  6.65e-10  ***
5 zoneF           0.488465    0.135765    3.598  0.000321  ***

```

Si on refait la régression, on trouve que tous les zones sont disinctes de la zone C. Pareil pour la zone D. En revanche, si la modalité de référence devient la zone E, on note que la zone F ne se distingue pas,

```

1 > freq$zone=relevel(freq$zone, "E")
2 > model_RC=glm(nb_RC~zone+as.factor(puissance)+agevehicule+
3 +           ageconducteur+carburant+offset(log(exposition)), data=freq,
      family=poisson)

```

```
4 > summary(model_RC)
```

```
...
```

1	zoneC	-0.398664	0.064569	-6.174	6.65e-10	***
2	zoneA	-0.594872	0.079207	-7.510	5.90e-14	***
3	zoneB	-0.583385	0.088478	-6.594	4.29e-11	***
4	zoneD	-0.191490	0.066185	-2.893	0.00381	**
5	zoneF	0.089801	0.135986	0.660	0.50902	

On pourrait être tenté de regroupe A et B, et E et F. En effet, les tests de Student suggèrent des regroupement (pour chacune des paires). Pour faire un regroupement des deux paires, on fait un test de Fisher,

```
1 > freq$zone=relevel(freq$zone, "C")
2 > model_RC=glm(nb_RC~zone+as.factor(puissance)+agevehicule+
3 + ageconducteur+carburant+offset(log(exposition)), data
  =freq, family=poisson)
4 > library(car)
5 > linearHypothesis(model_RC, c("zoneA=zoneB", "zoneE=zoneF"))
```

```

6 Linear hypothesis test
7
8 Hypothesis:
9 zoneA - zoneB = 0
10 zoneE - zoneF = 0
11
12 Model 1: restricted model
13 Model 2: nb_RC ~ zone + as.factor(puissance) + agevehicule +
14           ageconducteur +
15           carburant + offset(log(exposition))
16
17   Res.Df Df   Chisq Pr(>Chisq)
18 1     49982
19 2     49980    2 0.4498    0.7986

```

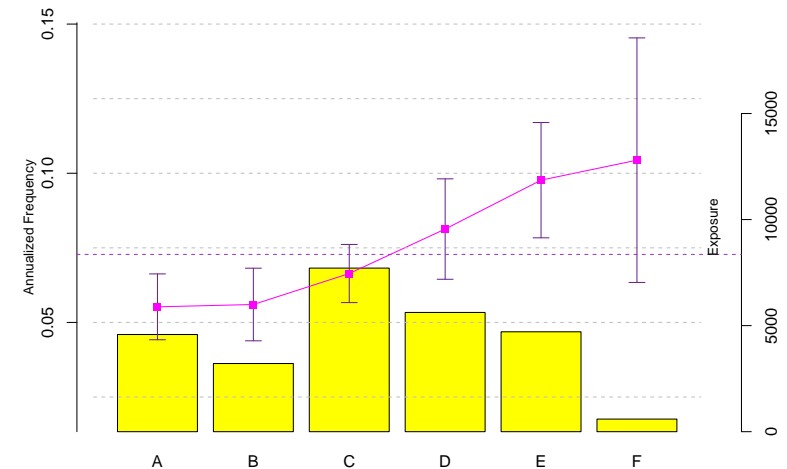
On peut accepter (avec une telle  $p$ -value) un regroupement. Construisons cette nouvelle variable

```
1 > levels(freq$zone)=c("AB", "AB", "C", "D", "EF", "EF")
```

## Régression de Poisson sur de variable factorielle, visualisation

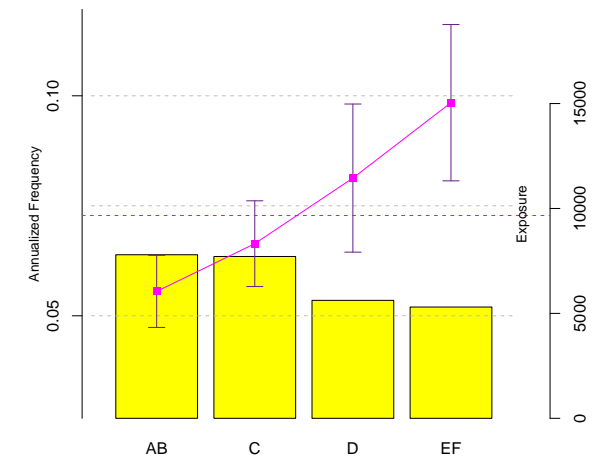
Avec la fonction `graph_freq` de [blog](#)

```
1 > graph_freq("zone", continuous=FALSE)
```



## Régression de Poisson sur de variable factorielle, visualisation

```
1 > levels(freq$zone)=c("AB", "AB", "C", "D", "EF"  
    , "EF")  
2 > graph_freq("zone", continuous=FALSE)
```

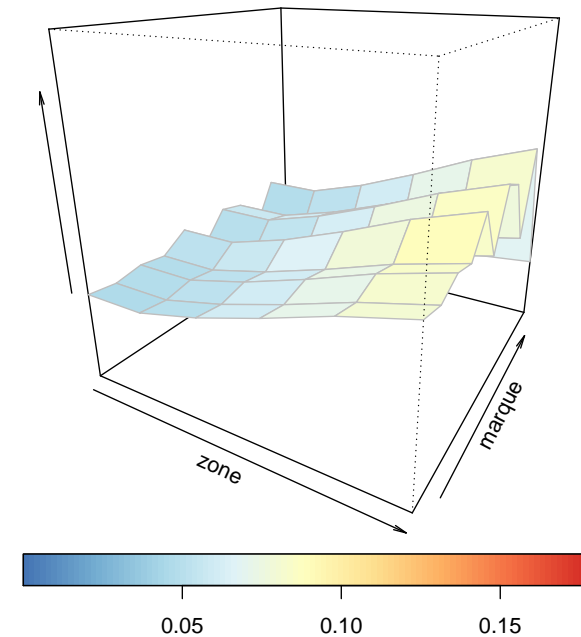


## Effets Croisés

```

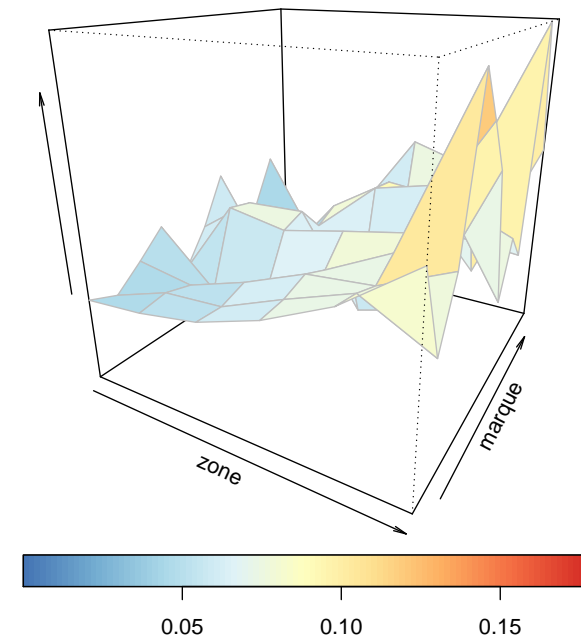
1 lst_p=levels(freq$zone)
2 lst_m=levels(freq$marque)
3 REG1=glm(nb_RC~zone+marque+offset(
  exposition), data=freq,family=
  poisson)
4 nd=data.frame(
5   zone=rep(lst_p,length(lst_m)),
6   marque=rep(lst_m,each=length(lst_p)),
7   exposition=1)
8 y1=predict(REG1,newdata=nd,type="
  response")
9 my1=matrix(y1,length(lst_p),length(lst_
  m))
10 persp(my1)

```



## Effets Croisés

```
1 REG2=glm(nb_RC~zone+marque+zone*marque+
  offset(exposition), data=freq,
  family=poisson)
2 y2=predict(REG1,newdata=nd,type="
  response")
3 my2=matrix(y1,length(lst_p),length(lst_
  m))
4 persp(my2)
```



## Variable Explicative Spatiale

Les régions utilisées sur la base sont reliées à la classification INSEE, [data.gouv.fr](http://data.gouv.fr)

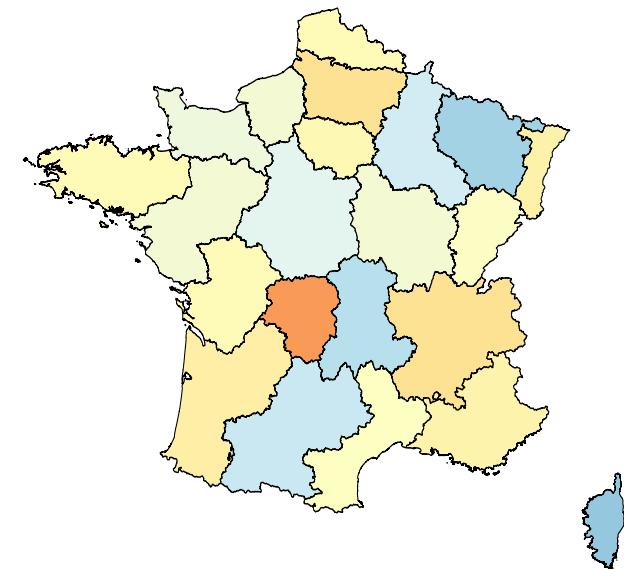
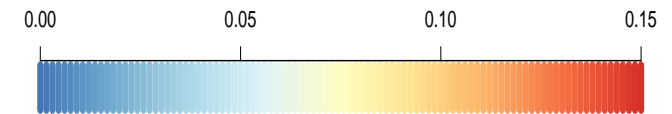
```
1 > loc="http://osm13.openstreetmap.fr/~cquest/openfla/export/regions
    -20140306-5m-shp.zip"
2 > download.file(loc,"region.zip")
3 > unzip("region.zip",exdir="regions")
4 > require(maptools)
5 > regions=readShapePoly("./regions/regions-20140306-5m.shp")
6 > LISTE=regions@data$nom[
7   c(1,2,3,4,5,6,7,8,9,10,13,14,15,17,18,21,22,23,24,25,26,27)]
8 > corresp_insee=
9 c(42,72,83,25,26,53,24,21,94,43,23,11,91,74,41,73,31,52,22,54,93,82)
```

## Variable Explicative Spatiale

```

1 > N = freq$nb_RC
2 > E= freq$exposition
3 > X1=freq$region
4 > T=tapply(N,X1,sum)/tapply(E,X1,sum)
5 > T=T[as.character(corresp_insee)]
6 > library(RColorBrewer)
7 > CLpalette=colorRampPalette(rev(brewer
  .pal(n = 9, name = "RdYlBu")))(100)
8 > lst=which(regions@data$nom%in%LISTE)
9 > plot(regions[lst,],col=CLpalette[
  round(T/.15*100)])

```



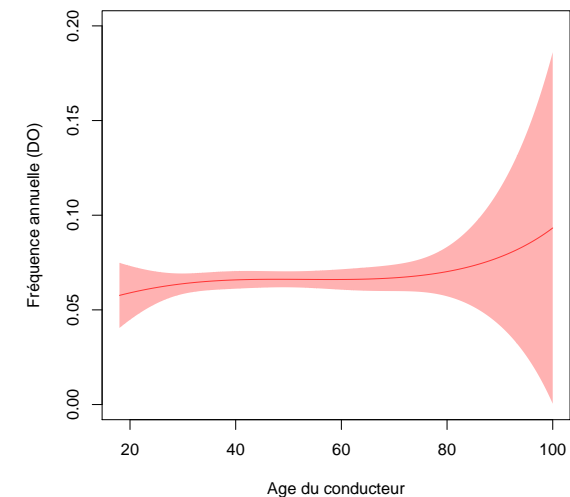
## Lissage et modèles non-paramétriques

Dans le modèle où seul l'âge du conducteur intervient, on a pour DO

```

1 > library(splines)
2 > model_DO=glm(nb_DO~bs(ageconducteur)+
  offset(log(exposition)), data=freq,
  family=poisson)
3 > u=seq(18,100,by=.1)
4 > newd=data.frame(ageconducteur=u,exposition
  =1)
5 > y_DO=predict(model_DO,newdata=newd,type="
  response",se.fit =TRUE)
6 > plot(u,y_DO$fit,col="red")
7 > polygon(c(u,rev(u)),c(y_DO$fit+2*y_DO$se.
  fit,rev(y_DO$fit-2*y_DO$se.fit)),
8 + col=rgb(1,0,0,.3),border=NA)

```



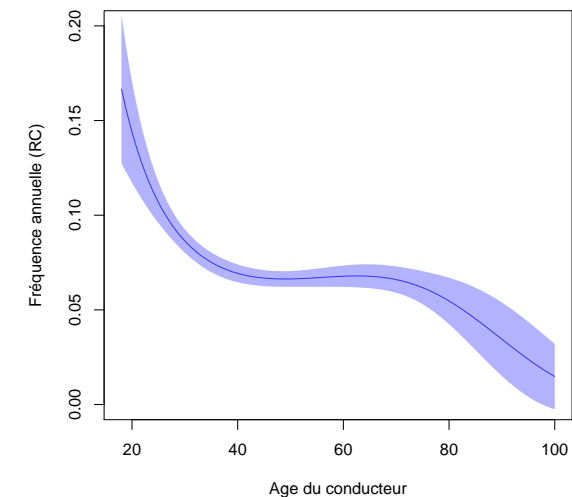
## Lissage et modèles non-paramétriques

et pour RC

```

1 > library(splines)
2 > model_RC=glm(nb_RC~bs(ageconducteur)+
  offset(log(exposition)),
3 + data=freq, family=poisson)
4 > u=seq(18,100, by=.1)
5 > newd=data.frame(ageconducteur=u, exposition
  =1)
6 > y_RC=predict(model_RC, newdata=newd, type="
  response", se.fit =TRUE)
7 > plot(u, y_DO$fit, col="blue")
8 > polygon(c(u, rev(u)), c(y_RC$fit+2*y_RC$se.
  fit, rev(y_RC$fit-2*y_RC$se.fit)),
9 + col=rgb(0,0,1,.3), border=NA)

```

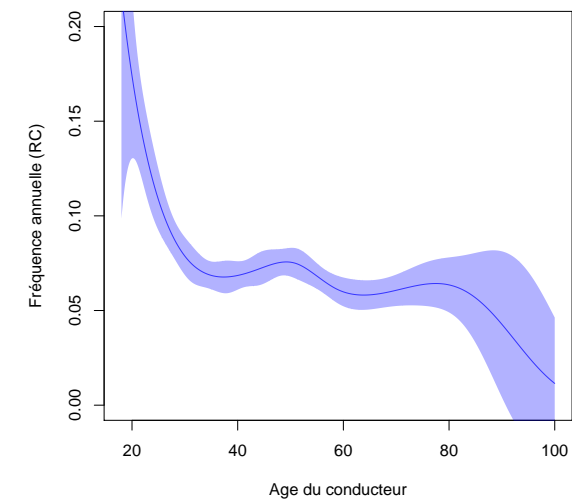


## Lissage et modèles non-paramétriques

```

1 > library(splines)
2 > model_RC=glm(nb_RC~bs(ageconducteur ,df=8)+
  offset(log(exposition)),
3 + data=freq ,family=poisson)
4 > u=seq(18,100,by=.1)
5 > newd=data.frame(ageconducteur=u,exposition
  =1)
6 > y_RC=predict(model_RC,newdata=newd,type="
  response",se.fit =TRUE)
7 > plot(u,y_DO$fit,col="blue")
8 > polygon(c(u,rev(u)),c(y_RC$fit+2*y_RC$se.
  fit,rev(y_RC$fit-2*y_RC$se.fit)),
9 + col=rgb(0,0,1,.3),border=NA)

```

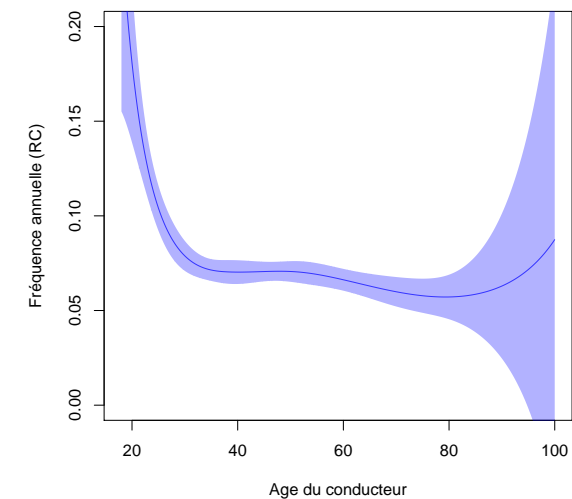


## Lissage et modèles non-paramétriques

```

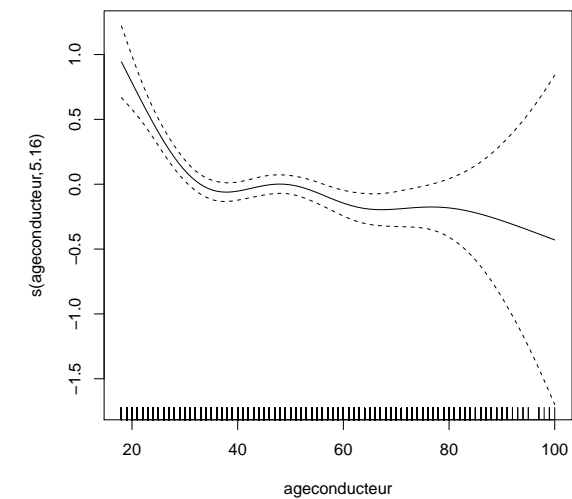
1 > library(splines)
2 > model_RC=glm(nb_RC~bs(ageconducteur ,df=5)+
  offset(log(exposition)),
3 + data=freq ,family=poisson)
4 > u=seq(18,100,by=.1)
5 > newd=data.frame(ageconducteur=u,exposition
  =1)
6 > y_RC=predict(model_RC,newdata=newd,type="
  response",se.fit =TRUE)
7 > plot(u,y_DO$fit,col="blue")
8 > polygon(c(u,rev(u)),c(y_RC$fit+2*y_RC$se.
  fit,rev(y_RC$fit-2*y_RC$se.fit)),
9 + col=rgb(0,0,1,.3),border=NA)

```



## Lissage et modèles non-paramétriques

```
1 > library(mgcv)
2 > gam_RC=gam(nb_RC~s(ageconducteur)+offset(
  log(exposition)),data=freq,family=
  poisson)
3 > plot(gam_RC)
```



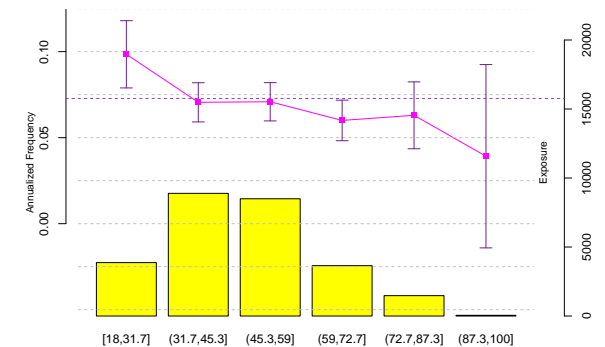
## Transformer une variable continue en classes tarifaires

On peut envisager un découpage exogène, e.g. par intervalles de taille gale

```

1 > library(classInt)
2 > CI=classIntervals(freq$ageconducteur, 6,
   style = "equal", intervalClosure="left")
3 > LV=CI$brks
4 > LV[6]=LV[6]+1
5 > graph_freq("ageconducteur", levels=LV)

```



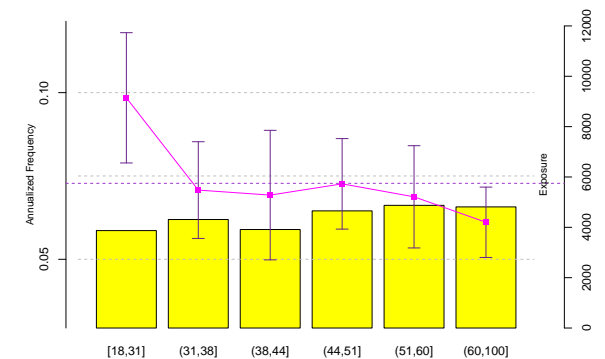
## Transformer une variable continue en classes tarifaires

ou par intervalles basés sur les quantiles

```

1 > library(classInt)
2 > CI=classIntervals(freq$ageconducateur, 6,
   style = "quantile",intervalClosure="left
   ")
3 > LV=CI$brks
4 > LV[6]=LV[6]+1
5 > graph_freq("ageconducateur",levels=LV)

```



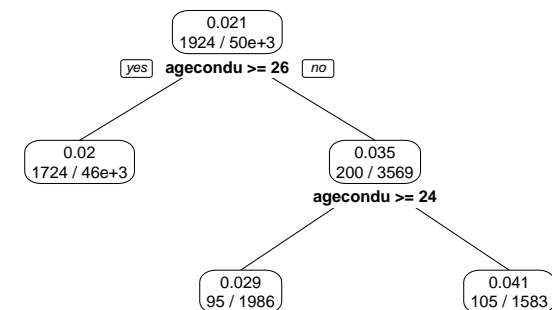
## Transformer une variable continue en classes tarifaires

On peut aussi utiliser un découpage endogène, cf. **arbre de régression**

```

1 > library(rpart)
2 > arbre=rpart(nb_RC~ageconducteur,
  data=freq,method="poisson",cp=5e
  -4)
3 > library(rpart.plot)
4 > prp(arbre,type=2,extra=1)

```

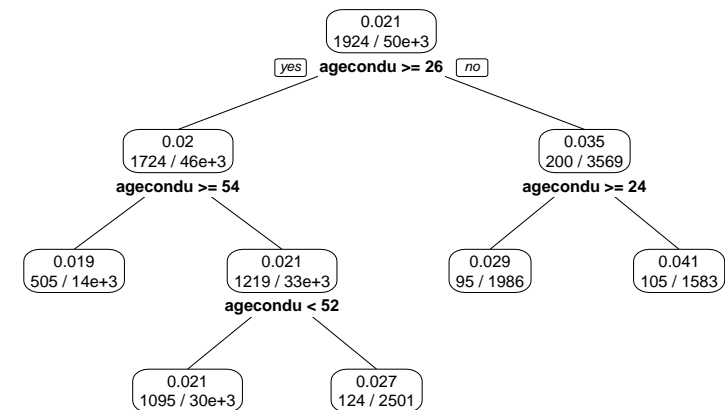


## Transformer une variable continue en classes tarifaires

```

1 > arbre=rpart(nb_RC~ageconducteur,
  data=freq,method="poisson",cp=4e-4)
2 > prp(arbre,type=2,extra=1)

```

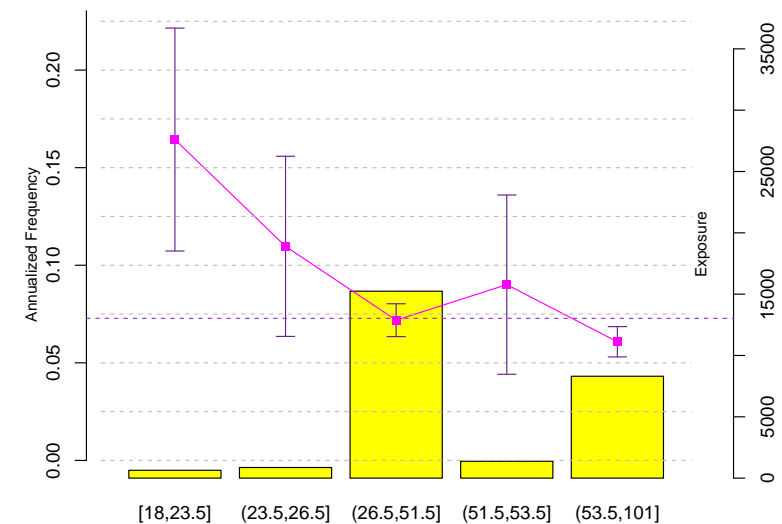


## Transformer une variable continue en classes tarifaires

```

1 > lb=labels(arbre)
2 > cut_ages = substr(lb,nchar(lb)-3,
  nchar(lb))
3 > cut_ages=as.numeric(cut_ages)
4 > LV=c(18,sort(unique(cut_ages[!is.na
  (cut_ages)])),101)
5 > graph_freq("ageconducteur",levels=
  LV)

```

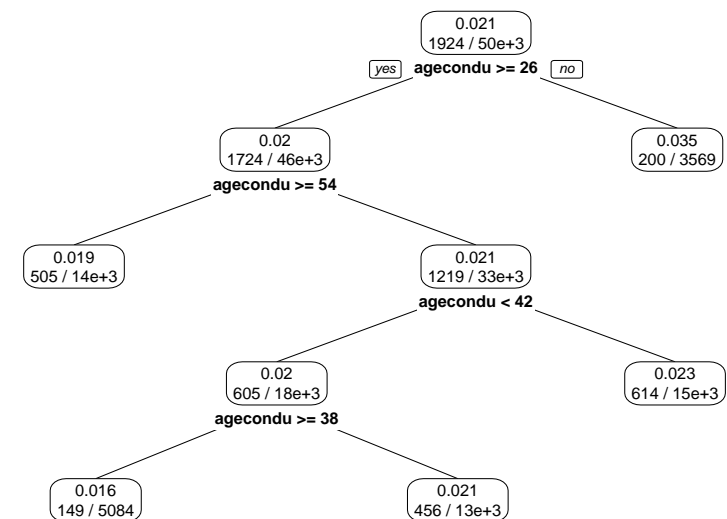


## Transformer une variable continue en classes tarifaires

```

1 > arbre=rpart(nb_RC~ageconducteur,
  data=freq,method="poisson",cp=4e-4,minsplit=10000)
2 > prp(arbre,type=2,extra=1)

```

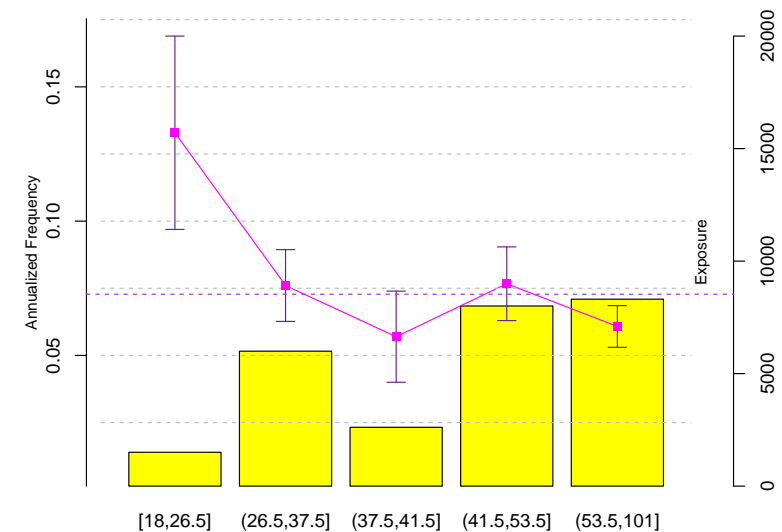


## Transformer une variable continue en classes tarifaires

```

1 > lb=labels(arbre)
2 > cut_ages = substr(lb,nchar(lb)-3,
  nchar(lb))
3 > cut_ages=as.numeric(cut_ages)
4 > LV=c(18,sort(unique(cut_ages[!is.na
  (cut_ages)])),101)
5 > graph_freq("ageconducteur",levels=
  LV)

```



## Arbre pour une loi de Poisson ?

On utilise ici une fonction d'impureté  $\mathcal{I}(\cdot)$  basé sur la déviance\* de la loi de Poisson. Pour un noeud  $N$ ,

$$\mathcal{I}(N) = \sum_{i \in \{N\}} \left( Y_i \log \left( \frac{Y_i}{\hat{\lambda}_N E_i} \right) - [Y_i - \hat{\lambda}_N E_i] \right) \text{ avec } \hat{\lambda}_N = \frac{\sum_{i \in \{N\}} Y_i}{\sum_{i \in \{N\}} E_i}$$

La méthode est ensuite la même que pour un arbre de classification.

\* la log-vraisemblance pour une loi de Poisson est

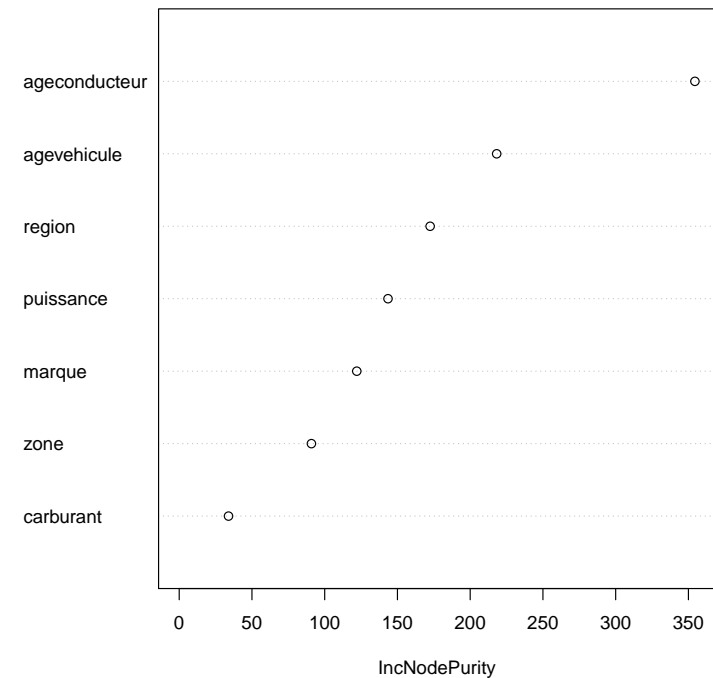
$$\log \mathcal{L}(\boldsymbol{\lambda}) = \sum_{i=1}^n y_i \log \lambda_i - \lambda_i - \log(y_i!)$$

et la déviance est alors la différence

$$\log \mathcal{L}(\mathbf{y}) - \log \mathcal{L}(\boldsymbol{\lambda}) = \sum_{i=1}^n y_i \log \frac{y_i}{\lambda_i} - [y_i - \lambda_i]$$

## Des arbres aux forêts

```
1 > library(randomForest)
2 > RF=randomForest(nb_RC~ageconducteur
  +agevehicule+region+puissance+
  marque+zone+carburant+offset(
  exposition),data=freq)
3 > varImpPlot(RF)
```



## Procédure stepwise, AIC

```

1 > step(glm(nb_RC~ageconducteur+agevehicule+region+puissance+marque+
           zone+carburant+offset(exposition), data=sub_freq,family=poisson))
2 Start:  AIC=16162.21
3 nb_RC ~ ageconducteur + agevehicule + as.factor(region) + puissance +
4         marque + zone + carburant + offset(exposition)
5
6
7           Df Deviance  AIC
8 - agevehicule      1   12409 16160
9 <none>              12409 16162
10 - puissance       1   12412 16163
11 - ageconducteur   1   12418 16169
12 - marque         10   12438 16171
13 - carburant        1   12423 16174
14 - region          21   12464 16175
15 - zone            5   12469 16212

```

## Procédure stepwise, AIC

ou avec des splines sur les variables continues,

		Df	Deviance	AIC
1				
2	- bs(puissance)	3	12379	16138
3	<none>		12374	16139
4	- marque	10	12396	16141
5	- bs(agevehicule)	3	12383	16142
6	- carburant	1	12387	16150
7	- region	21	12428	16151
8	- bs(ageconducteur)	3	12405	16164
9	- zone	5	12432	16187